

МЕХАΝІКА

УДК 539.384

**ОБ ИЗГИБЕ НЕОДНОРОДНОЙ АНИЗОТРОПНОЙ
ПРЯМОУГОЛЬНОЙ ПЛАСТИНКИ ЛЕЖАЩЕЙ
НА ДВУХКОНСТАНТНОМ ОСНОВАНИИ ПАСТЕРНАКА****А.Х.МОВСУМОВА***Институт математики и механики НАН Азербайджана
aytenmovsumova@mail.ru*

В работе исследуется поперечной изгиб неоднородной по толщине анизотропной пластинки. В случае всесторонне шарнирного закрепления, проведен численный расчет и результаты представлено графиками зависимостям между значением прогиба в центре пластинка от зависимости постоянной распределенной нагрузки.

Ключевые слова: пластинка, основания, изгиб, прогиб, метод, функция, непрерывность.

В настоящее время при сооружении инженерных комплексов, мостов, эстакад и в ряде других отраслях широко используются прямоугольные пластинки изготовленные из естественных и искусственных неоднородных по толщине анизотропных материалов [1,2]. Во многих случаях причиной появления неоднородности материала является технология изготовления, механическая и термическая обработка, неоднородности составов и т.п. [1,3,4].

Отметим, что учет вышеуказанных специфических свойств и влияние сопротивления внешней среды гораздо осложняет математическое решения задачи и анализ полученных результатов а не учет может привести к существенных погрешностям [5,6].

Предположим, что пластинке лежащей на двух константном основании типа Пастернака П.Л. [7]. Реакция R - который с прогибом $W(x, y)$ связан следующим соотношением:

$$R = K_v W - K_p \left(\frac{\partial^2 W}{\partial x^2} + \frac{\partial^2 W}{\partial y^2} \right) \quad (1)$$

Здесь $K_v(\frac{N}{m^3})$, коэффициент Винклера, $K_p(\frac{N}{m})$ - коэффициент Пастернака, П.Л.

Допустим, что пластинка находится под действием поперечной нагрузки типа

$$P(x, y) = P_0 \sin \frac{\pi}{a} x \cdot \sin \frac{\pi}{b} y \quad (2)$$

Здесь (a, b) - размеры пластинки.

Координатная система выбрано следующим образом. Оси X и Y находится в срединной плоскости а ось Z перпендикулярен к ним.

В данном случае связь между компонентами тензора напряжений и деформаций записывается в следующем виде [1,2]:

$$\begin{aligned} \sigma_{11} &= f(z)(a_{11}^0 \varepsilon_{11} + a_{12}^0 \varepsilon_{22} + a_{13}^0 \varepsilon_{12}) \\ \sigma_{22} &= f(z)(a_{21}^0 \varepsilon_{11} + a_{22}^0 \varepsilon_{22} + a_{23}^0 \varepsilon_{12}) \\ \sigma_{12} &= f(z)(a_{31}^0 \varepsilon_{11} + a_{32}^0 \varepsilon_{22} + a_{33}^0 \varepsilon_{12}) \end{aligned} \quad (3)$$

Здесь $f(z)$ - непрерывная функция характеризует неоднородность по толщине a_{ij}^0 - соответствует к однородному анизотропному материалу.

Принимается, что и для непрерывно неоднородно анизотропной пластинки гипотеза Кирхгофа-Лява остается в силе и имеет место

$$\begin{aligned} \varepsilon_{11} &= e_{11} - z_{11} \chi_{11} \\ \varepsilon_{22} &= e_{22} - z_{22} \chi_{22} \\ \varepsilon_{12} &= e_{12} - z_{12} \chi_{12} \end{aligned} \quad (4)$$

Здесь e_{11}, e_{22}, e_{12} - малые деформации, $\chi_{11}, \chi_{22}, \chi_{12}$ - кривизны и кручение срединной поверхности и компонентами вектора перемещения (U, V, W) связаны следующим образом

$$\begin{aligned} e_{11} &= \frac{\partial U}{\partial x}; \quad e_{22} = \frac{\partial V}{\partial y}; \quad e_{12} = \frac{\partial U}{\partial y} + \frac{\partial V}{\partial x} \\ \chi_{11} &= \frac{\partial^2 W}{\partial x^2}; \quad \chi_{22} = \frac{\partial^2 W}{\partial y^2}; \quad \chi_{12} = \frac{\partial^2 W}{\partial x \partial y} \end{aligned} \quad (5)$$

Учитывая (4) в (3) получим:

$$\begin{aligned} \sigma_{11} &= f(z) \left[(a_{11}^0 e_{11} + a_{12}^0 e_{22} + a_{13}^0 e_{12}) - z (a_{11}^0 \chi_{11} + a_{12}^0 \chi_{22} + a_{13}^0 \chi_{12}) \right] \\ \sigma_{22} &= f(z) \left[(a_{21}^0 e_{11} + a_{22}^0 e_{22} + a_{23}^0 e_{12}) - z (a_{21}^0 \chi_{11} + a_{22}^0 \chi_{22} + a_{23}^0 \chi_{12}) \right] \\ \sigma_{12} &= f(z) \left[(a_{31}^0 e_{11} + a_{32}^0 e_{22} + a_{33}^0 e_{12}) - z (a_{31}^0 \chi_{11} + a_{32}^0 \chi_{22} + a_{33}^0 \chi_{12}) \right] \end{aligned} \quad (6)$$

Так, как в плоскости пластинки внешние силы отсутствуют, естественно предполагать, что результирующие силы всюду равны нулю:

$$\int_{-\frac{h/2}{2}}^{+\frac{h/2}{2}} \sigma_{11} dz = 0; \quad \int_{-\frac{h/2}{2}}^{+\frac{h/2}{2}} \sigma_{22} dz = 0; \quad \int_{-\frac{h/2}{2}}^{+\frac{h/2}{2}} \sigma_{12} dz = 0 \quad (7)$$

Подставляя (6) в (7), получим:

$$\begin{aligned} a_{11}^0 e_{11} + a_{12}^0 e_{22} + a_{13}^0 e_{12} &= A_2 \cdot A_1^{-1} (a_{11}^0 \chi_{11} + a_{12}^0 \chi_{22} + a_{13}^0 \chi_{12}) \\ a_{21}^0 e_{11} + a_{22}^0 e_{22} + a_{23}^0 e_{12} &= A_2 \cdot A_1^{-1} (a_{21}^0 \chi_{11} + a_{22}^0 \chi_{12} + a_{23}^0 \chi_{12}) \\ a_{31}^0 e_{11} + a_{32}^0 e_{22} + a_{33}^0 e_{12} &= A_2 \cdot A_1^{-1} (a_{31}^0 \chi_{11} + a_{32}^0 \chi_{22} + a_{33}^0 \chi_{12}) \end{aligned} \quad (8)$$

Здесь приняты следующие обозначения

$$A_1 = \int_{-\frac{h/2}{2}}^{+\frac{h/2}{2}} f(z) dz; \quad A_2 = \int_{-\frac{h/2}{2}}^{+\frac{h/2}{2}} f(z) z dz$$

Аналогичным образом можно вычислить моменты

$$M_{i,j} = \int_{-\frac{h/2}{2}}^{+\frac{h/2}{2}} \sigma_{ij} z dz; \quad i, j = 1, 2 \quad (9)$$

Подставляя (6) в (9) с учетом (8) получим связь между моментами с $\chi_{11}, \chi_{22}, \chi_{12}$:

$$\begin{aligned} M_{11} &= \mu \left(a_{11}^0 \frac{\partial^2 W}{\partial x^2} + a_{12}^0 \frac{\partial^2 W}{\partial y^2} + a_{13}^0 \frac{\partial^2 W}{\partial x \partial y} \right) \\ M_{22} &= \mu \left(a_{21}^0 \frac{\partial^2 W}{\partial x^2} + a_{22}^0 \frac{\partial^2 W}{\partial y^2} + a_{23}^0 \frac{\partial^2 W}{\partial x \partial y} \right) \\ M_{12} &= \mu \left(a_{31}^0 \frac{\partial^2 W}{\partial x^2} + a_{32}^0 \frac{\partial^2 W}{\partial y^2} + a_{33}^0 \frac{\partial^2 W}{\partial x \partial y} \right) \end{aligned} \quad (10)$$

Здесь приняты следующие обозначения

$$A_3 = \int_{-\frac{h/2}{2}}^{+\frac{h/2}{2}} f(z) z^2 dz; \quad \mu = A_2^2 \cdot A_1^{-1} - A_3 \quad (11)$$

Уравнения равновесия в данном случае с учетом (1) и (2) записывается в следующем виде.

$$\frac{\partial^2 M_{11}}{\partial x^2} + 2 \frac{\partial^2 M_{12}}{\partial x \partial y} + \frac{\partial^2 M_{22}}{\partial y^2} + K_v W - K_p \left(\frac{\partial^2 W}{\partial x^2} + \frac{\partial^2 W}{\partial y^2} \right) = P_0 \sin \frac{\pi}{a} x \cdot \sin \frac{\pi}{b} y \quad (12)$$

Подставляя (10) в (12) после ряда преобразований получим уравнения равновесия относительно прогиба в следующем виде.

$$L(W) + K_v W - K_p \left(\frac{\partial^2 W}{\partial x^2} + \frac{\partial^2 W}{\partial y^2} \right) = P_0 \sin \frac{\pi}{a} x \cdot \sin \frac{\pi}{b} y \quad (13)$$

Здесь

$$L(W) = a_{11}^0 \frac{\partial^4 W}{\partial x^4} + (a_{12}^0 + 2a_{12}^0 + a_{32}^0) \frac{\partial^4 W}{\partial x^2 \partial y^2} +$$

$$+ a_{22}^0 \frac{\partial^4 W}{\partial y^4} + (a_{13}^0 + 2a_{31}^0) \frac{\partial^4 W}{\partial x^3 \partial y} + (2a_{32}^0 + a_{13}^0) \frac{\partial^4 W}{\partial x \partial y^3}$$
(14)

Пусть пластина всесторонне закреплена с шарнирами. Тогда $W(x, y)$ должен удовлетворять следующие краевые условия

$$W = 0$$

$$\frac{\partial^2 W}{\partial x^2} = 0 \quad \text{при } x = 0; x = a$$
(15)

$$W = 0$$

$$\frac{\partial^2 W}{\partial y^2} = 0 \quad \text{при } y = 0; y = b$$

Решение (12) примем в виде:

$$W(x, y) = W_0 \sin \frac{\pi}{a} x \cdot \sin \frac{\pi}{b} y$$
(16)

Нетрудно проверить, что (16) удовлетворяет краевые условия:

Подставляя (6) в (14), получим связь между W_0 и P_0 в следующем виде:

$$W_0 = \frac{P_0}{\overline{D_1} \lambda^4 + \overline{D_2} \beta^4 + 2 \overline{D_3} \lambda^2 \beta^2 + K_v - K_p (\lambda^2 + \beta^2)}$$
(17)

Здесь

$$\lambda = \frac{\pi}{a}; \quad \beta = \frac{\pi}{b}$$

Для квадратной пластинке $\lambda = \beta$.

$$W_{0,k} = \frac{P_0}{\lambda^4 (\overline{D_1} + \overline{D_2} + 2 \overline{D_3}) + K_v - 2 K_p \lambda^2}$$
(18)

Результаты численного расчета представлены в виде таблицы и графиками зависимостями между характерными параметрами (рис.1).

Таблица 1

ε	$\overline{A_1}$	$\overline{A_2}$	$\overline{A_3}, \mu_0 $
0	1	0	0,083
0,25	1	0	0,086
0,5	1	0	0,089
0,75	1	0	0,093
1	1	0	0,096

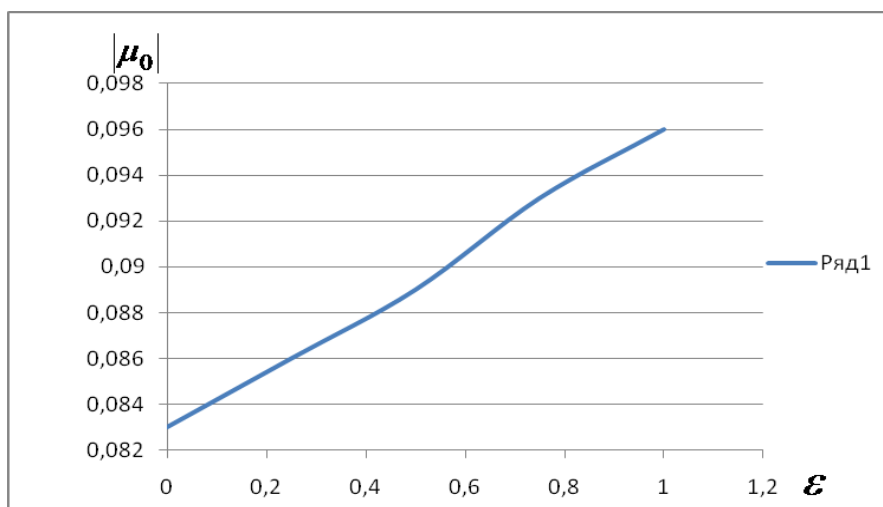


Рис. 1: График зависимости жесткости пластинки от параметра неоднородности по толщине пластинки.

Численный анализ проведем для ортотропной пластинки при следующих значениях характеристик параметров.

$$f(z) = 1 + \varepsilon \left(\frac{z}{n} \right)^2; \quad \varepsilon \in [0,1];$$

$$E_1/E_2 = 10,25,40,55; \quad \nu_1 = 0,25; \quad \left(\frac{a}{b} \right) = 1$$

$$K_w = 10^6 \text{ N/m}^3, \quad K_p = 10^4 \text{ N/m}$$

Заключение

В работе проведен численный анализ целью определения значение прогиба в центре пластинки с учетом неоднородности и сопротивления внешней среды.

ЛИТЕРАТУРА

1. Ломакин В.А. Теория упругости неоднородных тел. М.: МГУ, 1976, 376с.
2. Лехницкий Г.С. Теория анизотропных пластин. Гостехиздат, 1979, 445с.
3. Кравчук А.С., Майборода В.В., Уржумцев Ю.С. Механика полимерных и композиционных материалов. М., 1985, 303с.
4. Мехтиев М.Ф. Метод однородных решений в анизотропной теории оболочек. Баку: Элм, 2014.
5. Hacıyev V.C., Sofiyev A.H., Kuruoglu N. 2018: Free Bending Vibration Analysis of Thin Biderirectionaly Exponentially Graded Orthotropic Rectangular Plates Restiny on Two Parameter Elastic Foundation. Composite Structural. 372-377,
6. Hacıyev V.C., Mirzayeva G.R. and Sırıyev A.I. 2018: Effect of Winkler Foundation in Homogeneity and Orthotropy on the Frequency of Plates. Journal Structural Engineering Appl. Mechanics, v. 1, pp. 1-5.

7. Пастернак П.Л. Основы нового метода расчета фундаментов на упругом основании при помощи двух коэффициентов постели. М.: Госспроиздат, 1959, 89 с.

**İKİ SABİTLİ PASTERNAK ƏSASI ÜZƏRİNDƏ YERLƏŞƏN ANİZOTROP
QEYRİ-BİRCİNS DÜZBUCAQLI LÖVHƏNİN ƏYİLMƏSİ**

A.H.MÖVSÜMOVA

XÜLASƏ

Məqalədə aparılan ədədi hesabların nəticələri göstərir ki, lövhənin anizotropluğu, qalınlıq boyu qeyri-bircinsliyi, əsasın xarakteristikaları əyintinin qiymətinə ciddi təsir edir.

Açar sözlər: əyilmə, anizotrop, qeyri-bircins, düzbucaqlı lövhə.

**BENDING OF AN ANISOTROPIC NONHOMOGENEOUS RECTANGULAR PLATE
ON TWO CONSTANT PASTERNAK BASE**

A.H.MOVSUMOVA

SUMMARY

The results of the numerical calculation show that the anisotropy, non-homogeneity on the thickness of the plate, characteristics of the base have a significant influence on the value of the bending.

Key words: bending, anisotropic, non-homogeneous, rectangular plaque.

Поступила в редакцию: 24.01.2019 г.

Подписано к печати: 08.04.2019 г.